

## مطالعه سیر تغییرات تکاملی شبکه کورویید در موش

\*دکتر محمدرضا نیکروش، دکتر مهدی جلالی

\* گروه آناتومی، دانشکده پزشکی، دانشگاه علوم پزشکی و خدمات بهداشتی و درمانی مشهد

### خلاصه

در این پژوهش که به منظور بررسی تغییرات تکاملی شبکه کورویید مجاور بطنی موش (نژاد balb/c) صورت گرفت سعی شد تا روند تغییرات تکاملی این شبکه در دوره‌های مختلف زندگی مورد ارزیابی قرار گیرد. برای این منظور مغزهای مربوط به روزهای مختلف دوره جنینی، نوزادی و بالغ موش در فرمالین ۱۰٪ فیکس گردید و پس از تهیه برشهای سریال در جهات فرونتال و هوریزونتال و رنگ آمیزی مورد مطالعه میکروسکوپی قرار گرفت. یافته‌های حاصل از این پژوهش نشان می‌دهد که اولین تظاهرات مربوط به پیدایش شبکه کورویید در موش از حدود روز یازدهم جنینی است که به صورت یک ستیغ افقی در بالای سوراخ بین بطنی نمایان می‌شود و بروز این پدیده به طور همزمان در بخش فوقانی سقف بطن چهارم نیز قابل ردیابی است. در این راستا با بروز تغییرات تکاملی و تغییر شکل سلولهای پوششی پیش ساز این شبکه، بتدریج پلاک کوروییدی شروع به کامل شدن می‌کند و در روزهای بعد به سمت حفرات بطنی گسترش می‌یابد تا اینکه در حدود روز هفدهم بعد از تولد به تکامل نهایی خود نزدیک می‌شود. مطالعات میکروسکوپی در این زمینه مشخص نمود که سلولهای پوششی تمایز یافته مشارکت کننده در این شبکه در مراحل اولیه شکل گیری جنینی بیشتر به حالت استوانه‌ای و با هسته‌های مشخص تیره کروی به چشم می‌خورند که به صورت کلاف‌های نامنظم به درون حفرات بطنی برجسته شده‌اند. همچنین موازات این دسته از تغییرات تکاملی، سلولهای دیگری در مجاورت تشکیلات اخیر شروع به نمایان شدن می‌کنند که با عنوان سلولهای Epiplexus شناخته شده‌اند. مطالعات مربوط به کورویید موشهای بالغ نشان داد که تغییرات مورفولوژیکی خاصی در کورویید آنان دیده می‌شود که از مهمترین آنان می‌توان به آتروفی سلولهای اپی‌تلیال مربوط به این شبکه و تغییر شکل در جهت پهن شدن سلولها و نامنظم شدن غشای پایه در آنان اشاره کرد در حالیکه در دوره جنینی و همچنین در موشهای نابالغ چنین پدیده‌ای به چشم نمی‌خورد. کلمات کلیدی: شبکه کورویید، تکامل، موش

### مقدمه

می‌نماید. سپس این شبکه به گونه‌ای سازگاری و تخصص می‌یابد که بتواند به ایجاد سد خونی - مغزی منجر شود و در ترشح مداوم مایع مغزی نخاعی و تبادلات یونی بین خون و مغز ایفای نقش نماید.

از سوی دیگر مشخص شده است که شبکه کورویید در پستانداران به موازات تغییر در سایر ارگانهای بدن در طی دوره زندگی جنین و پس از تولد دارای تغییراتی می‌شود که به سهم خود می‌تواند بر تغییرات مربوط به عملکرد سیستم عصبی تأثیر بگذارد (۱۳) در حالی که دگرگونیهای مربوط به ساختمان و عمل سیستم عصبی مرکزی از دیدگاه این

مطالعه مقایسه‌ای جنین شناسی سیستم عصبی، این موضوع را به اثبات رسانده است که روند مراحل اصلی تکامل در رده‌های مختلف پستانداران تقریباً به صورت مشابه و پایدار باقی مانده است. بنابراین در بسیاری از موارد از شناخت این الگوهای تکاملی و تعمیم آن به انسان، می‌توان استفاده‌های مناسبی به عمل آورد (۴). در این رابطه آنچه که به اثبات رسیده است اینکه شبکه‌های کورویید مجاور بطنی سیستم عصبی یکی از ضمایم حساس و تأثیر گذار در تکامل و بقای این سیستم محسوب می‌شود که به موازات شکل گیری بطن‌های مغزی و در ارتباط با آنها شروع به پیدایش و تکامل

مشهد در شرایط استاندارد (نور و روشنایی، دمای مناسب و آب و غذای کافی) مورد مراقبت قرار گرفتند. سپس مغز جنین‌های مربوط به روزهای ۱۰ تا ۲۰ حاملگی و مغز نوزادان ۱۰ و ۲۰ روزه و موش بالغ (۶ ماهه) مورد استفاده این پژوهش قرار گرفت. در رابطه با تهیه برشهای بافتی از مغزهای جنینی، در هر یک از روزهای یاد شده یکی از موشهای حامله تحت بیهوشی عمیق قطع نخاع و سزارین شد. سپس دو عدد از جنینهای به دست آمده در هر مرحله که به طور تصادفی انتخاب گردیده بودند قطع نخاع گردیده و مغز آنان برای فیکس شدن به فرمالین ۱۰٪ انتقال یافت. در این حالت چون استخراج مغز جنینها امکان پذیر نبود جامعه آنان به طور کامل مورد فیکس قرار گرفت. در مورد نوزادان روزهای یاد شده و نمونه بالغ نیز با قطع سر و شکافتن جمجمه، مغز آنان به دقت خارج و به روش فوق فیکس گردید. پس از آماده سازی بافتی، مغز همه نمونه‌های به دست آمده در جهات فرونتال و ساژیتال (به صورت سریال) برش گیری شد. ضخامت برشها ۱۰ میکرومتر و فاصله بین برشها از هر ۱۰ برش متوالی یک برش در نظر گرفته شد و پس از کُند گذاری با استفاده از هاتوکسیلین-اٹوزین مورد رنگ آمیزی قرار گرفت.

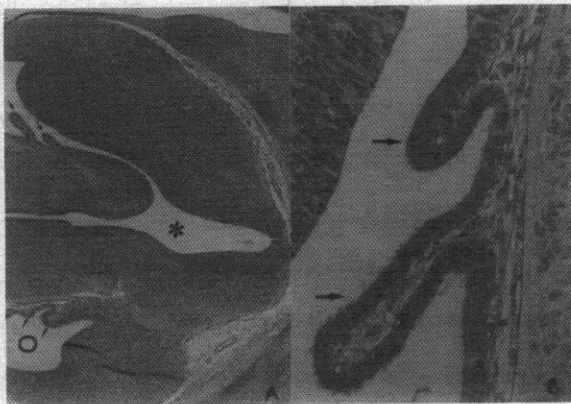
### نتایج

مطالعات بافتی مربوط به سیستم عصبی مرکزی جنین‌های ۱۰ روزه علائمی را که دلالت بر ظهور و پیدایش شبکه کورویید باشد نشان نداد اما از روز ۱۱ جنینی اولین علامت پیدایش جوانه‌های کورویید در بطن‌های طرفی و در حین شکل گیری حفرات بطنی آشکار گردید (شکل ۱). در این حالت ضمن شکل گیری جدار میانی بطن‌های طرفی و تمایز آنها از همدیگر در بخش انتهایی این تیغه شواهد مربوط به ساختار تشکیلات پیش ساز کورویید به صورت دو ستیغ عرضی متمایل به بالا قابل ملاحظه است. علاوه بر این سلولهای پیش ساز کورویید در این مرحله نابالغ و بهم فشرده هستند و هنوز آرایش منظمی بخود نگرفته‌اند. در این مرحله اولین شواهد

تأثیر گذاری کمتر مورد توجه قرار گرفته است. به عنوان مثال تحقیقات نشان می‌دهد که با پیشرفت سن، ظهور لیپوفوشین و سایر آنکلوژیونها در سلولهای اپی‌تلیال تشکیلات عروقی کورویید به فراوانی دیده می‌شود (۱۳) که پیوند شدن آنها با پروتئینهای سلولی مغز یکی از عوامل بروز بیماریهای سیستم عصبی از جمله آلزایمر دانسته شده است (۳). بر اساس برخی از مطالعات دیگر مشخص شده است که غشای پایه در سلولهای اپی‌تلیال شبکه کورویید افراد مسن از نظر ضخامت، وضعیتی نامنظم پیدا می‌کند که می‌تواند زمینه عبور غیر طبیعی یونها و حتی مولکولهای درشت‌تر از جمله بعضی از پروتئینها را از این شبکه فراهم نموده و منجر به برهم خوردن تعادل غلظت یونی در مایع مغزی نخاعی گردد (۷). در این رابطه نشان دار کردن ایمانهای خونی و ردیابی آن در مایع مغزی نخاعی مربوط به بطن‌ها و سیسترنهای مغزی در رت‌های مسن نشان می‌دهد که در ظرف یک ساعت، ۵۰٪ ایزوتوپهای مورد نظر از این شبکه عبور می‌نمایند در حالیکه در رت‌های جوان این مقدار از ۷٪ تجاوز نمی‌کند (۲۱). در این شرایط طبیعی به نظر می‌رسد که افزایش نفوذ پذیری و تراوایی خارج از حد طبیعی شبکه کورویید بتواند منجر به عبور غیر مجاز مولکولهای هورمونی و آنزیمی (از قبیل تیروکسین، پرولاکتین و لپتین) یا عبور سریع بعضی از داروها و ترکیبات شیمیایی به داخل مغز شود و زمینه اختلال در کار سیستم عصبی را فراهم نماید (۲۱). بنابراین، با استفاده از پژوهش حاضر که بر روی شکل گیری و تکامل کورویید موش صورت گرفته است سعی گردید تا از مرحله ظهور تشکیلات پیش ساز کورویید تا تکامل نهایی این شبکه، سیر تغییرات ساختمانی پدید آمده در آن مورد مطالعه و ارزیابی قرار گیرد.

### مواد و روشها

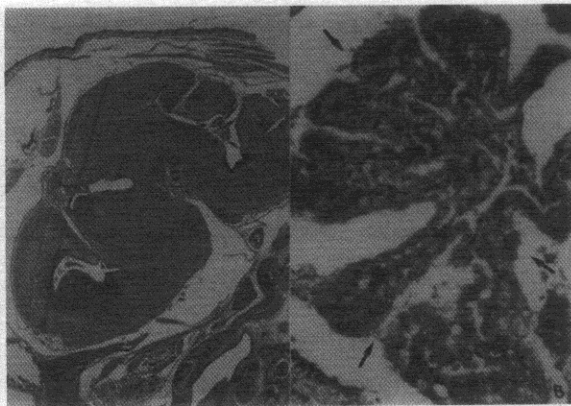
به منظور این مطالعه از موش‌های باکره نژاد balb/c استفاده شد که پس از جفت گیری و تعیین روز صفر حاملگی در حیوانخانه بخش فیزیولوژی-فارماکولوژی دانشکده پزشکی



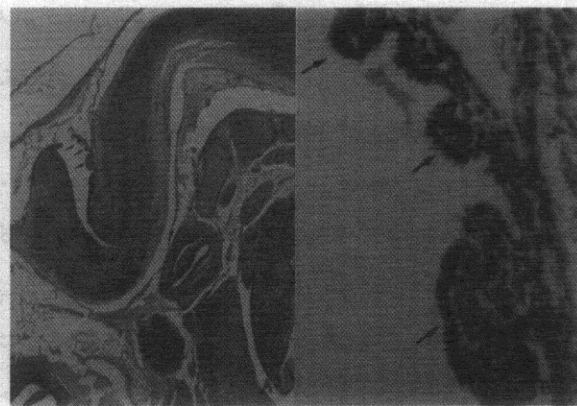
شکل ۳: مقطع سائیتال سیستم عصبی مرکزی جنین ۱۴ روزه موش و طرز شکل‌گیری کورونید بطن چهارم (فلش) در شکل A (با رنگ آمیزی همتوکسیلین-انوزین و  $X = 40$ ). B، کورونید همان تصویر با درشتنمایی بیشتر ( $X = 400$ ). در این حالت همانگونه که مشخص است از ارتفاع سلولهای پیش ساز کورونید کاسته شده و هسته‌های سلولی در مجموع نوار قاعده‌ای تیره‌ای را به نمایش گذاشته‌اند. در این حالت اگرچه هنوز شبکه کورونید تکامل نهایی خود را به دست نیاورده است اما با چین خوردگی جوانه‌های اولیه (فلش) و هجوم سلولهای پشتیان (ستاره) طرح قابل قبولی از پیدایش این شبکه دیده می‌شود.



شکل ۴: A، مقطع فرونتال سیستم عصبی مرکزی جنین ۱۷ روزه موش (با رنگ آمیزی همتوکسیلین-انوزین و درشت نمایی  $X = 20$ ) که اولین علائم ظهور کورونید را به صورت جوانه‌های پیش ساز این شبکه (فلش) در بطن‌های طرفی (ستاره) نشان می‌دهد. در این تصویر به همان گونه که دیده می‌شود سلولهای مزبور در جهت تمایز و ساختار کورونید نسبت به سایر سلولهای این ناحیه در حال تغییر هستند و به عنوان اولین قدم از تراکم لایه‌های سلولی کاسته شده است. B، نمایش همان تصویر با درشتنمایی بیشتر ( $X = 400$ ) در محل جوانه کورونید اولیه (فلش) با تأکید بر این مسئله که سلولهای متراکم و نابالغ پیش ساز کورونید به سمت ستونی شدن پیش می‌روند.



شکل ۵: مقطع سائیتال سیستم عصبی مرکزی جنین ۱۷ روزه موش و نمایش کورونید بطن چهارم (فلش) در شکل A (با رنگ آمیزی همتوکسیلین-انوزین و  $X = 20$ ). B، کورونید همان ناحیه با درشتنمایی بیشتر ( $X = 400$ ). در این حالت همانگونه که مشخص است کورونید بشدت در حال به هم پیچیدن است و اولین علائم از پیدایش لاکونا‌های کورونیدی (ستاره) به چشم می‌خورد.



شکل ۶: A، مقطع فرونتال سیستم عصبی مرکزی جنین ۱۳ روزه موش که شکل‌گیری بطن سوم (ستاره)، بطن‌های طرفی (دایره) و جوانه‌های کورونید در حال تکامل (فلش) مشخص شده است که با رشد بیشتری نسبت به روز دوازدهم دیده می‌شود (رنگ آمیزی همتوکسیلین-انوزین و  $X = 20$ ). B، نمایش جوانه‌های کورونید مربوط به همان تصویر با درشتنمایی بیشتر ( $X = 400$ ). در این وضعیت سلولهای پیش ساز کورونید جوانه‌های کورونید با آرایش ستونی منظم و هسته‌های درشت نزدیک به قاعده دیده می‌شود.

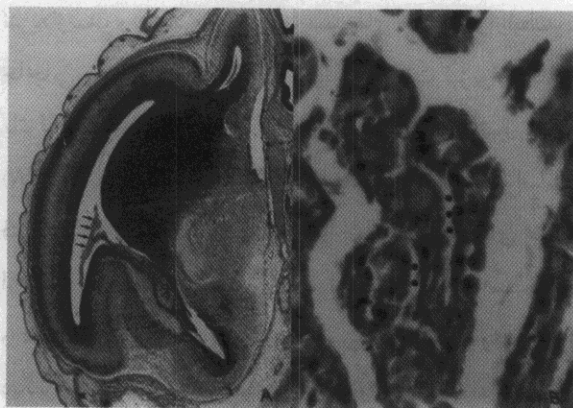
مربوط به پیدایش کورویید در اپیتلیوم بخش فوقانی سقف بطن چهارم نیز قابل ردیابی است.

بررسی مقاطع عصبی مربوط به روز ۱۳ جنینی گویای این واقعیت است که ضمن شکل‌گیری بطن سوم و بطن‌های طرفی، جوانه‌های کورویید رشد بیشتری یافته و در حال طویل شدن هستند (شکل ۲). در این مرحله سلولهای پیش ساز کورویید الگوی ستونی مشخص‌تری یافته و هسته‌های آنها به صورتی واضحتر به سمت قاعده متمایل شده‌است.

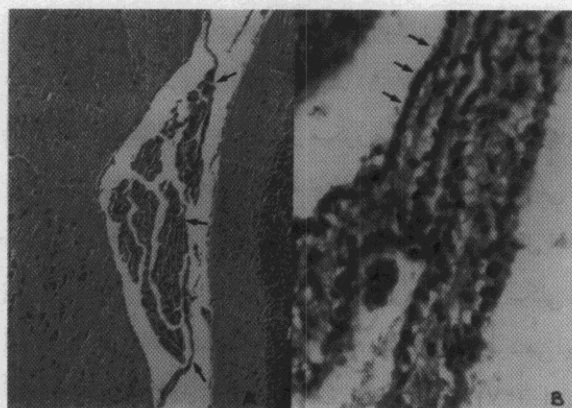
در مطالعه برشهای روز ۱۴ جنینی مشخص شد که کورویید بطن چهارم به طور واضح در حال شکل‌گیری است (شکل ۳). در این حالت سلولهای پیش ساز کورویید کوتاه شده‌اند و هسته‌های سلولی به صورت منظم و تیره با آرایش قاعده‌ای منظم در این سلولها به چشم می‌خورند. در این مرحله شبکه کورویید هنوز به تکامل نهایی خود نرسیده است اما با چین خوردگی جوانه‌های اولیه کورویید و هجوم سلولهای پشتیبان تغییرات تکاملی رو به افزایش است.

با بررسی مقاطع به دست آمده از کورویید بطن‌های طرفی و بطن چهارم جنین‌های مربوط به روز ۱۷ جنینی مشخص شد که جوانه‌های کورویید از حالت استطاله‌های ساده به سمت کلافه‌های پیچیده‌ای پیش می‌روند که رفته رفته طرح تکامل یافته‌تری را از این شبکه به نمایش می‌گذارد و به ساختار کورویید بالغ در حال نزدیک شدن است (شکل ۴).

بررسی‌های به عمل آمده در کورویید مربوط به آخرین روز حاملگی و روزهای اول پس از تولد گویای این واقعیت است که در این مرحله، لاکونا‌های کوروییدی به طرز چشمگیری وسعت یافته و اپیتلیوم سازنده کورویید از ستونی کوتاه به سمت پهن شدن می‌رود (شکل ۵). علاوه بر این تصاویر واضحی از سلولهای پشتیبان (Epiplexus) در تشکیلات کورویید قابل ردیابی است که اپیتلیوم سازنده کورویید را همراهی می‌کند. مشاهدات یاد شده که کماکان تا روز ۲۰ پس از تولد ادامه یافته بود تغییرات عمده دیگری را نشان نداد جز اینکه کلافه‌های کوروییدی گسترش بیشتری



شکل ۵: مقطع ساژیتال سیستم عصبی مرکزی نوزاد ۲۰ روزه موش و نمایش کورویید بطن طرفی (فلش) در شکل A (با رنگ آمیزی همتوکسیلین-انوزین و  $X = 20$ ). B، بخشی از کورویید همان ناحیه با درشتنمایی بیشتر ( $X = 400$ ). در حالت اخیر همانگونه که مشخص است لاکونا‌های کوروییدی (دایره) فوق العاده وسعت یافته و اپیتلیوم سازنده کورویید از ستونی کوتاه به سمت پهن شدن می‌رود. علاوه بر این تصاویر واضحی از سلولهای پشتیبان این شبکه که سلولهای Epiplexus نامیده می‌شوند قابل ردیابی است (ستاره).



شکل ۶: مقطع فرونتال سیستم عصبی مرکزی موش بالغ (۶ ماهه) در ناحیه بطن چهارم و نمایش کورویید در این ناحیه (فلش) در شکل A (با رنگ آمیزی همتوکسیلین-انوزین و  $X = 100$ ). B، بخشی از کورویید همان ناحیه با درشتنمایی بیشتر ( $X = 400$ ). در این حالت همانگونه که مشخص است سلولهای مشارکت کننده در ساختار این شبکه به صورت نوارهای سلولی نازک و منظمی بدنبال هم ردیف شده‌اند (فلش). در این حالت سلولها آنقدر پهن و نازک شده‌اند که هسته تمام حجم سلول را به خود اختصاص داده است. در این حالت رنگ پذیری کورویید نسبت به مراحل قبلی به شدت افزایش یافته و همانگونه که دیده می‌شود هسته‌ها حالت پیکنوز به خود گرفته‌اند.

عهده دارند. علاوه بر این نقش این سلولها در تنظیم تونیسیته عروق، پدیده رگ زایی در بافتهای طبیعی و نسوج نئوپلازیک و همچنین فعالیت سلولهای خونی در رابطه با جابجایی و مهاجرت آنها که در جریان تغییرات فیزیولوژیک و پاتولوژیک بافتهای بدن به وقوع می پیوندد بی تأثیر نیست (۲۸). همچنین اهمیت نقش این سلولها در تمایزات اساسی فنوتیپ اندوتلیوم و نوسانات آن در صدور سیگنالهای مختلف از نظر دور مانده است (۱ و ۲۳). تشخیص اینگونه سیگنالها و دریافت پیامهای هدایتی مربوط به روند تکامل و تمایز، از دیگر نقشهای پیچیده سلولهای اندوتلیال هدف محسوب می شوند که طبعاً اندوتلیوم کورویید نیز از این قاعده مستثنی نخواهند بود (۱۱، ۲۵، ۳۱). اکتساب چنین نقشهایی از سوی اینگونه سلولها نتیجه یک ویژگی چندقابلیتی (Multipotential) این نوع سلولها است که به عوامل مختلفی از جمله در دسترس بودن یا نبودن بعضی از مولکولهای محیطی در جریان تکامل جنینی یا پس از تولد وابسته است (۱۸).

علاوه بر این پاره‌ای از تحقیقات نشان می دهد که سلولهای گلیال نیز در تمایز شبکه کورویید و واسکولاریزه شدن آن نقش مؤثری ایفا می نمایند (۹، ۱۷ و ۲۷). متدهای ایمونوسیتوشیمی و بهره گیری از میکروسکوپ الکترونی در این رابطه نشان می دهند که چنانچه توده خالصی از آستروسیت‌های متعلق به هیپوتالاموس جنین رت در داخل قشر مغز رت بالغی کاشته شود پیشروی‌های شعاعی شکلی از لیه‌های بافت کاشته شده به درون بافت میزبان به وجود می آید که به استتاله‌های رگ ساز معروف هستند (۲۷). این استتاله‌ها در واقع توسعه یافتگی‌های سلولهای اندوتلیالی هستند که با استتاله‌های آستروگلیالی تماس می یابند. بر اساس یافته‌های فوق Suarez و همکاران (۱۹۹۴) پیشنهاد می کنند که ساختمان‌های شبه مویرگی احتمالاً با استفاده از طرح اولیه‌ای ایجاد می شوند که به صورت حضراتی در بین سلولهای آستروگلیال پدیدار می گردد. وجود این حضرات احتمالاً این امکان را فراهم می کند تا سلولهای اندوتلیالی به

یافته و سلولهای اپتلیوم سازنده کورویید ضمن تمایل به پس شدن از هسته‌های رشد یافته و درشت تری برخوردارند. در بررسی مقاطع به دست آمده از سیستم عصبی مرکزی موش بالغ مشخص شد که سلولهای مشارکت کننده در ساختار کورویید به صورت نوارهای سلولی نازک و منظمی به دنبال هم ردیف شده‌اند (شکل ۶). در این حالت سلولهای پوششی موجود در شبکه تا حد ممکن پهن و نازک شده و یک اپتلیوم سنگفرشی ساده را به غایش می گذارند. در راستای این تغییرات از گستردگی و پیچیدگی کلافه‌های عروقی کورویید نیز کاسته شده و از بافت حمایت کننده (پشتیبان) کورویید نیز اثرات کمتری به چشم می خورد. همچنین رنگ پذیری کورویید نسبت به مراحل قبلی به شدت افزایش یافته است تا آنجا که هسته‌ها بیش از پیش حالت پیکنوز بخود گرفته‌اند.

## بحث

شبکه کورویید عبارت از یک ساختار پیچیده و تخصص یافته در سیستم عصبی مرکزی است که نقش عمده آن در ارتباط با شکل دادن مایع مغزی نخاعی مشخص می شود (۳۲). تحقیقات نشان می دهد که اپی تلیوم مشارکت کننده در این شبکه از اپی تلیوم لوله عصبی و مزانشیم آن از منشأ منشأ می گیرد (۴ و ۲۲). یک موضوع دیگر اینکه آنزیمهای زیادی در شبکه کورویید ساخته می شود که از جمله آنها می توان به آلکالین فسفاتاز، اسید فسفاتاز، گلوکز ۶ فسفاتاز، تیامین پیرو فسفاتاز، آدنیلات سیکلاز، اکسیدو ردوکتاز، و گلوکتاتیون S ترانسفراز اشاره نمود (۴). اما از مهمترین آنزیمهایی که در رابطه با سنتز مایع مغزی نخاعی در این شبکه ایفای نقش می کنند باید به ATPase ( $Na^+$ ,  $K^+$ ) و کربونیک انیدراز اشاره نمود که مستقیم یا غیر مستقیم، با استفاده از کاتکول آمینها سنتز می شوند (۲۴). مطالعه در ساختار کورویید و سایر بسترهای عروقی مغز نشان داده است که سلولهایی که سطح داخلی رگهای خونی و از جمله کورویید را می پوشانند به عنوان اندوتلیوم عروقی شناخته می شوند. این سلولها نقش مهمی در هوستاز فیبرینولیز و انعقاد خون بر

درون آنها نفوذ نمایند و از این قالب طراحی شده برای متصل شدن به همدیگر و تولید اندوتلیوم مویرگی در مغز (و از جمله در کورویید بطنی) استفاده نمایند (۲). یک تفسیر ممکن برای یافته‌های فوق آن است که آستروسیتها احتمالاً به طور مستقیم و فعالانه در امر تنظیم پیدایش مویرگها مشارکت می‌نمایند (۲۷). تحقیقات مشابه در این زمینه نشان داده است که در جریان تمایز شبکه کورویید، سلولهای دیگری به نام سلولهای Epilexus در این مجموعه ظاهر می‌شوند که می‌توانند با استفاده از اثرات القایی و میان کنش‌های سلولی نقش عمده‌ای در تکامل نهایی کورویید از خود بر جای گذارند (۳۰). چنین به نظر می‌رسد که این سلولها نیز در تولید مایع مغزی نخاعی جنین با سایر تشکیلات کورویید همکاری داشته باشند (۳۰). بر اساس یک نظریه دیگر خاطر نشان شده است که تغییرات تکاملی غیر طبیعی بسترهای عروقی مغز می‌تواند منجر به عواقب نامطلوبی از جمله تغییر در ضخامت بعضی از لایه‌های جنینی مغز (از جمله لایه ماتل) شود و زمینه بعضی از گرفتاریهای سیستم عصبی مرکزی منجمله هیدروسفالوس را فراهم نماید (۵، ۱۲، ۱۵ و ۲۰).

بنابراین، تکامل طبیعی کورویید (که در این پژوهش مد نظر قرار گرفته است) می‌تواند شاخص مناسبی برای تکامل طبیعی سیستم عصبی به حساب آید زیرا تغییر در میزان واسکولاریته بافتها پدیده مهمی است که در طی دوره تکامل جنینی و متناسب با متابولیسم بافتها صورت می‌گیرد. سلولهای پوششی که سطح داخلی عروق خونی را می‌پوشانند نقش مهمی در پدیده هموستاز بافتی، فیبرینولیز و انعقاد، مبادلات خونی-بافتی و تنظیم وازوتونوس بر عهده می‌گیرند (۸، ۱۴ و ۲۹). در پی‌گیری روند این تغییرات چنین به نظر می‌رسد که اولین مرحله از تشکیل بسترهای عروقی خارج جنینی و داخل جنینی (و از جمله کورویید مغزی) تمایز و سازمانبندی سلولهای اندوتلیال است که قالب ریزی ساختمانهای عروقی و جزایر خونی را (در این شبکه) بر عهده می‌گیرند. در این رابطه اولین بار Breier و همکاران

(۱۹۹۶) نشان دادند که VE-cadherin یک مارکر اختصاصی برای نشان دادن برقراری اتصالات سلول به سلول بین سلولهای اندوتلیال محسوب می‌شود و از این طریق می‌توان سازمان یافتن و پیدایش شبکه‌های عروقی را پیگیری نمود (۲). در این پژوهش که با هدف بررسی تکامل طبیعی کورویید مغزی در دوره‌های سنی متفاوت (جنینی، نوزادی و بالغ) صورت گرفته است مشخص گردید که بین اندوتلیوم عروقی کورویید و سلولهای مکمل این شبکه در نمونه‌های جنینی با نمونه‌های بالغ تفاوت زیادی وجود دارد. پیدایش چنین تغییراتی در طی هر کدام از فرایندها مربوط به تکامل طبیعی و غیر طبیعی کورویید می‌تواند زمینه بحث بسیاری از تغییرات شبکه کورویید، سد خونی-مغزی و تأثیر گذاری آن بر فعالیت‌های متابولیکی مغز باشد (۶ و ۱۹). بنابراین، طبیعی به نظر می‌رسد که به تبع آن، تغییر در عملکرد و کاهش فعالیتهای حیاتی سیستم عصبی ممکن است به بروز بیماریهایی از قبیل پارکینسون و آلزایمر منجر شود (۱۰، ۱۶ و ۲۶). مطالعات انجام شده بر روی ترشح مایع مغزی نخاعی شبکه کورویید رت‌های مسن (۲۶ ماهه) و مقایسه آن با میزان این ترشح که قبلاً" به صورت *in situ* در گوسفند انجام گرفته است مشخص کرده است که میزان تبادل یونی و جابجایی یونهای  $K^+$  و  $Na^+$  در سن پیری به نحو مؤثری تغییر می‌کند (۷). یافته‌های حاصل از این پژوهش نیز نشان می‌دهد که با ظهور جوانه‌های پیش ساز کورویید که از روز یازدهم جنینی آغاز می‌شود، سلولهای مشارکت کننده در ساختار آن ابتدا حالتی فشرده و نابالغ دارند. این سلولها سپس به سمت ستونی شدن پیش می‌روند تا آنجا که با آرایش طولی منظم و هسته‌های درشت نزدیک به قاعده در طرح اولیه این شبکه شرکت می‌نمایند. در مرحله بعد (روز چهاردهم جنینی و روزهای بعد از آن)، به تدریج از ارتفاع این سلولها کاسته شده و هسته‌های سلولی در دید میکروسکوپی نوار قاعده‌ای تیره‌ای را به نمایش می‌گذارند که به غشای پایه نزدیکی نشان می‌دهد. با پیگیری روند این تغییرات پس از تولد می‌توان

- in brain and peripheral tissues of mice, *J. Recept. Signal. Transduct. Res.*, 19 (1-4): 245-266.
7. Garton M. J., Keir G., Vijaya Lakshami M., Thompson E. J., 1991, Age-related changes in cerebrospinal fluid protein concentrations, *Journal of Neurological Sciences*, 104:74-80.
  8. Haour F., Jafarian Tehrani M., Gabellec M. M., Crumeyrolle Arias M., Hu. Y., Wick G., Ternynck T., 1998, Interleukin-1 receptor defect in autoimmune NZB mouse brain, *Ann. N.Y. Acad. Sci.*, 840: 755-761.
  9. Hu H., 1999., Chemorepulsion of neuronal migration by Slit2 in the developing mammalian forebrain, *Neuron*, 23(4): 703-711.
  10. Kane J. K., Matta S. G., Blaner W. S., Sharp B. M., 2000, Nicotine enhances the biosynthesis and secretion of transthyretin from the choroid plexus in rats. implications for beta-amyloid formation, *J. Neurosci.*, 20(4):1318-1323.
  11. Korzhenskii D. E., 1998, Tissue organization and development of the choroid plexus in the human brain, *Morfologia*, 113(2): 105-114.
  12. Kronic N., Adamson S. L., Ackerley C., Okita R.T., Coceani F., 2000, Perinatal changes in choroidal 15-hydroxyprostaglandin dehydrogenase: implications for prostaglandin removal from brain, *Dev. Brain Res.*, 121(2): 145-155.
  13. Kvitnitskaya Ryzhova T. Y., Shkapenko A. L., 1992, A comparative ultracytochemical and biochemical study of the choroid plexus ATPases in the aging brain, *Tsitologiya*, 4:81-87.
  14. Leino R. L., Gerhart D. Z., Drewes L.R., 1999, Monocarboxylate transporter (MCT1) abundance in brains of suckling and adult rats: a quantitative electron microscopic immunogold study, *Dev. Brain Res.*, 113(1-2): 47-54.
  15. Lindeman G. J., Dagnino L., Gaubatz S., Xu Y., Bronson R. T., Warren H.B., Livingston D. M., A specific, nonproliferative role for E2F-5 in choroid plexus function revealed by gene targeting, *Genes Dev.*, 12(8): 1092-1098.
  16. Mamelak A. N., Eggerding F. A., Oh D. S., Wilson E., Davis R. L., Spitzer R., Hay J. A., Caton W. L., 1998, Fatal cyst formation after fetal mesencephalic allograft transplant for Parkinson's disease, *J. Neurosurg.*, 89(4): 592-598.
  17. Martinasevic M. K., King C. D., Rios G.R., Tephly T. R., 1998, Immunohistochemical localization of UDP-glucuronosyltransferases in rat brain during early development, *Drug Metab. Dispos.*, 26(10): 1039-1041.
  18. Mungall B. A., Shinkel T. A., Sernia C., 1995, Immunocytochemical localization of angiotensinogen in the fetal and neonatal rat brain, *Neuroscience*, 67(2): 505-524.
  19. Nualart F., Godoy A., Reinicke K., 1999, Expression of the hexose transporters GLUT1 and GLUT2 during the early development of the human brain, *Brain Res.*, 824(1):97-104.
  20. Pooh R. K., Nakagawa Y., Nagamachi N., Pooh K. H., Maeda K., Fukui R., Aono T., 1998,

نتیجه گرفت که سلولهای اپی تلیال مشارکت کننده در دیواره تشکیلات عروقی کورونید به تدریج از حالت ستونی خارج می شوند و به سمت پهن شدن پیش می روند که این دگرگونیها با روند پیشرفت سن متناسب است. علاوه بر این با گذشت زمان از پیچیدگی و تراکم کلافه های کورونیدی مجاور بطنی کاسته می شود و چنانکه نشان داده شده است سلولهای اپی تلیال سازنده تشکیلات عروقی این شبکه نیز در سنین بسالا کاهش می یابد. در عوض قطر کانالهای عروقی مربوط به این شبکه افزایش یافته و چنین به نظر می رسد که با پیشرفت سن، یک تحلیل بافتی در ساختار آن بوقوع می پیوندد. بنابراین با توجه به گزارشات فوق و یافته های موجود بعید به نظر نمی رسد که تغییر در ساختار کورونید که در سنین پیری پیش آمد می کند به اعتبار نامتعادل شدن ساختمان و عمل کورونید و سد خونی-مغزی است که به عنوان دو جزء مکمل عمل نموده و می تواند بر فعالیتهای طبیعی سیستم عصبی تأثیر بگذارد و به بروز عوارضی از قبیل آنچه که گفته شد منجر شود.

## References

1. Arai Y., Deguchi K., Takashima S., 1998, Vascular endothelial growth factor in brains with periventricular leukomalacia, *Pediatr. Neurol.*, 19(1): 45-49.
2. Breier G., Breviario F., Caveda L., Berthier R., Schnurch H., Gotsch U., Vestweber D., Risau W. and Dejana E., 1996, Molecular cloning and expression of murine vascular endothelial-cadherin in early stage development of cardiovascular system, *Blood*, 15 : 641-630.
3. Béné M. C., Foliguet B., Faure G.C., 2000, Morphological alterations of the choroid plexus in late-onset Alzheimer's disease, *Acta Neuropathol.*, 99: 105-108.
4. Catala M., 1998, Embryonic and fetal development of structures associated with the cerebro-spinal fluid in man and other species. Part I: The ventricular system, meninges and choroid plexuses, *Arch. Anat. Cytol. Pathol.*, 46(3): 153-169.
5. Chen J., Knowles H. J., Hebert J. L., Hackett B. P., 1998, Mutation of the mouse hepatocyte nuclear factor/forkhead homologue 4 gene results in an absence of cilia and random left-right asymmetry, *J. Clin. Invest.*, 102(6): 1077-1082.
6. Chen S. C., Kochan J. P., Campfield L. A., Burn P., Smeyne R. J., 1999, Splice variants of the OB receptor gene are differentially expressed

27. Suarez I., 1994, Astroglial induction of in vivo angiogenesis, *J. Neural. Transplant Plast.*, 5: 1-10.
28. Szmydynger Chodobska J., Chodobski A., Johanson C. E., 1994, Postnatal developmental changes in blood flow to choroid plexuses and cerebral cortex of the rat, *Am. J. Physiol.*, 266(5): 488-492.
29. Ueda T., Fujimori O., Yamada K., 1994, The use of periodic acid-thiocarbohydrazide-silver protein-physical development (PA-TCH-SP-PD) procedure for the histochemical detection of neutral carbohydrates in the circumventricular organs of the rat, *Okajimas Folia Anat.Jpn.*, 71(5): 325-333.
30. Wang D., Kaur C., 2000, Response of epileptus cells associated with the choroid plexus in the lateral ventricles of adult rats to high altitude exposure, *Neurosci. Lett.*, 285 (3): 197-200.
31. Wang D., Kaur C., 2001, Choroid plexus epithelial cells in adult rats show structural alteration but not apoptosis following an exposure to hypobaric hypoxia, *Neurosci. Lett.*, 297(2): 77-80.
32. Wilson M. R., Preston J. E., Thomas S. A., Segal M. B., 1999, Altered cerebrospinal fluid secretion rate and I251-labelled -amyloid transport in the aged sheep choroid plexus. *Journal of Physiology*, 51:5-7
- Transvaginal sonography of the fetal brain: detection of abnormal morphology and circulation, *Croat. Med. J.*, 39(2): 147-157.
21. Preston J. E., Wilson M.R., Abbott N. J., Segal M. B., 1999, Uptake of I251-labelled amyloid (1-40) from blood into rat CSF, choroid plexus and brain increases with age using in situ brain perfusion, *Journal of Physiology*, 515: 2-4.
22. Rickman D. W., Nacke R. E., Rickman C.B., 1999, Characterization of the cell death promoter, Bad, in the developing rat retina and forebrain, *Dev. Brain Res.*, 115(1): 41-47.
23. Risau W., 1995, Differentiation of endothelium, *FASEB J.*, 9:926-933.
24. Rizzolo L. J., 1999, Polarization of the Na<sup>+</sup>, K<sup>+</sup>-ATPase in epithelia derived from the neuroepithelium, *Int. Rev. Cytol.*, 185: 195-235.
25. Samat H.B., 1998, Histochemistry and immunocytochemistry of the developing ependyma and choroid plexus, *Microsc. Res. Tech.*, 41(1): 14-28.
26. Strelau J., Sullivan A., Bottner M., Lingor P., Falkenstein E., Suter Crazzolaro C., Galter D., Jaszai J., Krieglstein K., Unsicker K., 2000, Growth/differentiation factor-15/macrophage inhibitory cytokine-1 is a novel trophic factor for midbrain dopaminergic neurons in vivo, *J. Neurosci.*, 20(23): 8597-8603.